### النحر في الأرضيات الحصوية مؤخر الهدارات والبوابات المركبة

بهزاد محمد علي \* موفق يونس محمد \* احمد عبد الحميد احمد \* قسم هندسة المدنية/كلية الهندسة ـ جامعة دهوك \* قسم هندسة الموارد المائية/كلية الهندسة ـ جامعة الموصل تاريخ الاستلام: ٢٠١٠/١/٢٠ تاريخ القبول: ٢٠١٠/١/٢٥

#### الخلاصة

تم في هذا البحث دراسة خصائص النحر مختبريا مؤخر الهدارات والبوابات المركبة ، إذ تضمنت الدراسة قياس أقصى عمق و أقصى طول لحفرة النحر مؤخر تلك المنشآت وكذلك دراسة تأثير ارتفاع الهدار وارتفاع الهنتحة أسفل البوابة المركبة و تأثير تغير التصريف المار وقطر مواد القعر على عمق وطول حفرة النحر. أجريت مائتان وأربع وثلاثون تجربة في قناة مختبرية استخدمت فيها ثلاث أقطار من الحصى المكسر مابين ١,٤٣ سم وثلاث ارتفاعات للمنشأ (١٥ و ٢٠ و ٣٠) سم وثلاث ارتفاعات للفتحة أسفل المنشأ (١ و ٢٠ و ٣٠) سم وثلاث ارتفاعات للفتحة أسفل المنشأ (١٥ و ٢٠ و ٣٠) سم . بينت النتائج المختبرية وجود علاقات خطية طردية جيدة بين كل من العمق النسبي الطول النسبي للنحر (Ls/D50) مع رقم فرود (Fr0) بدلالة كثافة مواد القعر للهدارات والبوابات المركبة ، كما بينت النتائج بأن هناك علاقات طردية جيدة بين كل من (Ds/D50) و السقوط النسبي للفتحة أسفل البوابة المركبة المركبة عالية كما و النسبي لسطح الماء (Pr) و الارتفاع النسبي للفتحة أسفل البوابة المركبة عالية المركبة عالية المركبة عديد عالية النسبي النسبي الفتحة أسفل البوابة المركبة المركبة عديد عالية .

### <u>المقدمة</u>

إن خزن المياه مقدم السدود والهدارات في الأنهار والقنوات المفتوحة يستفاد منه في الاستخدام البشري والزراعة والصناعة فضلا عن الاستخدامات الأخرى ، إن الجانب الاقتصادي من الجوانب المهمة والواجب دراستها عند إقامة تلك المنشآت إذ يجب الأخذ بنظر الاعتبار توفر المواد في المنطقة التي سيتم فيها إقامة المنشأ من حيث مادة المنشأ نفسه و كذلك المواد المستخدمة في فرش الأرضية مؤخر هذا المنشأ، فإذا توفر حجر بحجم ونوعية مناسبين قدر الإمكان يحبذ استخدامه بدلا عن استخدام أرضية خرسانية مؤخر المنشأ والتي يكون الغرض

الأساسي منها هو تبديد طاقة الجريان المار فوق حافة الهدار ، إلا إن استخدام أرضية حصوية له العديد من المحاذير منها حصول النحر في تلك الأرضية الأمر الذي يؤدي بالتالي إلى رفع تلك المواد عن القعر وتركة معرضا مباشرة للجريان المار فوق حافة الهدار بكل طاقته الأمر الذي يودي بالتالي إلى تآكل ذلك القعر فيؤثر ذلك سلبا على استقرارية المنشأ وبالتالي فشله (نوري والحافظ ،٢٠٠٧) ، ويعرف النحر الناتج من السقوط الحر للماء من فوق حافة الهدار بأنه إزاحة مواد القعر بفعل طاقة الجريان وتحريكها إلى أبعد مسافة مؤخر الهدار مما يكون حفرة للنحر مؤخره والتي تؤثر سلبا على استقراره ، كما يعرف النحر الناتج من السقوط الحر للماء من فوق حافة البوابة المركبة والجريان الخارج من البثق الموجود أسفلها بأنه إزاحة مواد القعر بفعل الطاقة المشتركة لهذين النوعين من الجريان مما يؤدي إلى تحريك جزيئاتها إلى أبعد مسافة مؤخر البوابة المركبة وتكون حفرة للنحر والتي تؤثر سلبا على استقرارها أيضا.

### عرض البحوث السابقة

### النحر مؤخر الهدارات:

الباحث سكوكليتش (Dargahi, 2003 (مذكور في Schoklitsh (1932) يعد من الباحث سكوكليتش ( $D_{90}=(9-36)$ mm أو ائل الباحثين الذين درسوا النحر على أرضية من الحصى بقطر مؤخر الهدار المعادلة التالية لحساب عمق النحر مؤخر الهدار على أرضية ، وتمكن من استتاج المعادلة التالية لحساب عمق النحر مؤخر الهدار :-

$$D_{s} = 4.75 \frac{\Delta H_{w}^{0.2} q_{w}^{0.57}}{D_{90}^{0.32}} - h_{2w} \qquad ...(1)$$

إذ أن  $D_s: D_s = D_s$  عمق النحر مؤخر الهدار ،  $\Delta H_w$  الفرق بين منسوب الماء مقدم ومؤخر الهدار ،  $q_w$  الهدار ،  $q_w$  = التصريف لوحدة العرض المار فوق الهدار ،  $p_w$  = حجم فتحة المنخل التي تمرر ، 9% من مواد القعر و  $p_w$  = عمق الجريان مؤخر الهدار .

كما درس الباحث دارگاهي(Dargahi, 2003) النحر الحاصل مؤخر الهدارات العمودية واستنتج المعادلات التالية لحساب اقصى عمق واقصى طول لحفرة النحر:

$$\frac{D_s}{\Delta H_{w}} = \left(\frac{\Delta H_{w}}{D_{50}}\right)^{\frac{1}{3}} \qquad \dots (2)$$

$$\frac{L_{\rm s}}{\Delta H_{\rm w}} = 10 \left(\frac{\Delta H_{\rm w}}{D_{50}}\right)^{\frac{1}{12}} \qquad \dots (3)$$

$$\frac{D_s}{\Delta H_w} = 1.7 \left(\frac{\Delta H_w}{D_{50}}\right)^{\frac{1}{4.5}} \dots (4)$$

$$\frac{L_s}{\Delta H_w} = 5 \left( \frac{\Delta H_w}{D_{50}} \right)^{\frac{1}{3}} \qquad \dots (5)$$

إذ أن :  $L_s$  = طول حفرة النحر مؤخر الهدار و  $D_{50}$  = متوسط قطر مواد القعر . حيث أن المعادلتين (٢) و (٣) تطبق لنسبة عمق الجريان (Y) الى عرض القناة (B) تساوي

۰,۱٦۷ في حين أن المعادلتين (٤) و (٥) تطبق لقيمة Y/B = ... . ودرس الباحثون چين و آخرون (2005, Chen, et al) مختبريا النحر مؤخر الهدارات وتأثير

الاختلاف في مستوى الماء مقدم و مؤخر تلك الهدارات على طول حفرة النحر واستنتجوا المعادلة التالية:

$$L_{s} = K(Fr_{2} - Fr_{c}) \left(\frac{D_{50}}{\Delta H_{w}}\right)^{-\frac{1}{3}} \qquad \dots (6)$$

إذ أن K = ثابت وضعي تتراوح قيمته بين 4, و 4, و 4 = رقم فرود مؤخر الهدار و 4 = 4 = رقم فرود الحرج والذي تبدأ عنده مواد القعر بالحركة .

و درس الباحثان نوري و الحافظ (٢٠٠٧) النحر في الأرضيات الحجرية مؤخر الهدارات المثلثية واستنتجوا المعادلات التالية:

$$\frac{D_s}{D_{50}} = 0.6255 \times \frac{\left(Fr_0\right)^{1.144} \left(\frac{\Delta H_w}{P}\right)^{0.296}}{\left(\frac{T_w}{P}\right)^{0.716187}} \qquad ...(7)$$

$$\frac{L_{s}}{D_{50}} = 4.0268 \times \frac{\left(Fr_{0}\right)^{0.9825}}{\left(\frac{T_{w}}{P}\right)^{0.3401} \left(\frac{\Delta H_{w}}{P}\right)^{0.3666}} \qquad \dots (8)$$

إذ أن  $D_s/D_{50}$  = نسبة عمق حفرة النحر إلى متوسط قطر مواد القعر (العمق النسبي لحفرة النحر)  $L_s/D_{50}$  = نسبة طول حفرة النحر إلى متوسط قطر مواد القعر (الطول النسبي لحفرة

النحر) ،  $\Delta H_w$  = السقوط النسبي لمنسوب سطح الماء مقدم ومؤخر الهدار ،  $T_w/P$  = نسبة عمق الماء ألذيلي إلى ارتفاع الهدار ، P = ارتفاع الهدار ، P = ارتفاع الهدار ، P = المثافة مواد القعر ويساوي  $P_s$  ،  $P_s$  = الكثافة الكتايــة المواد القعر و  $P_s$  = الكثافة الكتايـة للماء .

### النحر مؤخر البوابات المركبة

قدم الباحث ايكنبركر (Eggenberger,1943) (مذكور في Dargahi,2003) المعادلة التالية لحساب عمق النحر مؤخر البوابات المركبة :-

$$D_{s} = C \left( \frac{\Delta H_{t}^{0.2} q_{t}^{0.6}}{D_{90}^{0.4}} \right) - h_{2t}$$
 ...(9)

إذ أن :  $\Delta H_t$  = الفرق بين منسوب الماء مقدم ومؤخر البوابة المركبة ،  $\Delta H_t$  = عمق الجريان مؤخر البوابة المركبة ،  $q_t$  = التصريف الكلي لوحدة العرض المار أعلى وأسفل البوابة المركبة ، C = ثابت المعادلة ، وتعتمد قيمته على النسبة بين التصريف المار فوق البوابة إلى التصريف المار تحتها وكما جاء في (Simons and Şentürk,1992) أن قيمته القصوى مساوية للمار تحتها وكما خريان أسفل البوابة وقيمته الدنيا V, Y ويحسب من المعادلة التالية :

$$C = 22.8 - \frac{1}{0.049 \left(\frac{q_u}{q_d}\right)^3 - 0.0063 \left(\frac{q_u}{q_d}\right)^2 - 0.029 \left(\frac{q_u}{q_d}\right) + 0.064}$$
...(10)

إذ أن:  $q_u$  = التصريف لوحدة العرض المار أعلى البوابة المركبة ،  $q_d$  = التصريف لوحدة العرض المار أسفل البوابة المركبة و  $q_u/q_d$  = نسبة التصريف المار أسفلها (التصريف النسبي).

كما درس الباحث ايماز (Uyumaz,1988) النحر مؤخر البوابات العمودية وتوصل إلى أن عمق النحر يعتمد بشكل مباشر على كمية التصريف المار اعلى واسفل البوابة المركبة والتصريف الكلى:

$$D_s = w \frac{\Delta H_t^{0.5} q_t^{0.6}}{D_{90}^{0.4}} \dots (11)$$

إذ أن : w = ثابت المعادلة وتعتمد قيمته على النسبة بين التصريف المار أعلى واسفل البوابة ، ويحسب كالآتى :

$$w = A \left(\frac{q_u}{q_d}\right)^2 + B \left(\frac{q_u}{q_d}\right) + C \qquad \dots (12)$$

$$w = E\left(\frac{q_u}{q_d}\right) + F \qquad \dots (13)$$

حيث تستخدم المعادلة (١٢) عندما تكون  $(q_u/q_d \le 2)$  وتستخدم المعادلة (١٣) للحالة حيث تستخدم المعادلة (١٣) عندما تكون  $(q_u/q_d \le 2)$  وأعطى الباحث قيماً للثوابت  $(q_u/q_d \le 2)$  وأعطى الباحث قيماً للثوابت  $(q_u/q_d \le 2)$  وأعطى المستخدمة .

### ألعمل ألمختبري

تم تصنيع ثلاثة نماذج للهدارات من ألواح خشبية بسمك (١٥ ملم) و بعرض (٨١ سم) أي بعرض مقطع القناة الخرسانية ، وبارتفاعات (١٥ و٢٠ و٣٠ سم) على التوالي ، إذ كانت الهدارات المستخدمة ذات حافة حادة (Sharp Crested Weir) بعرض قمة تساوي (٢ ملم) وتتحدر حوافهم بزاوية (°۲۰) مع الأفق حسب المواصفات البريطانية ( British Standard Institution, 1965 ). تتزلق هذه الهدارات الخشبية داخل ساقية معدنية ثبتت على الجدران الجانبية للقناة الخرسانية وذلك لضمان حركة البوابات إلى الأعلى و الأسفل ومنها يتم الحصول على فتحة أسفل البوابة بارتفاعات متعددة مما يجعل الهدار يعمل كبوابة مركبة ، إن القناة التي أجريت فيها التجارب مشيدة من الخرسانة بطول (٢٤,٦٤ م) و بعرض (٠,٨١ م) و بعمق (٠,٧٦ م) ، ثبتت على جداري القناة الخرسانية سكة حديدية تسهل حركة أجهزة قياس العمق (Point Gages) على طول القناة ، تتصل القناة في مقدمتها بحوض تغذية بأبعاد افقية (٢,٢٥ م × ١,٢٥ م) وبعمق (١,٢ م) ، ويكون الجريان فيها من النوع كامل الدوران أي يجهز بواسطة مضخة ومن ثم يعود الى الخزان والشكل (1) يوضح مسقط رأسي ومقطع طولي للقناة المختبرية ، تم رفع منسوب أرضية القناة بمقدار (٣٠ سم) من بداية القناة بطول (٣,٤٤ م) يليه حوض تهدئة بأبعاد (٣ م × ٠,٨١ م) وبعمق (٠,٣ م) ، من ثم بوابة التحكم بعمق الماء نهاية حوض التهدئة بعدها يثبت نموذج الهدار على بعد ( ٧,٥ م) مؤخر بوابة التحكم وذلك لضمان الحصول على جريان هادئ ومنتظم عند الهدار المستخدم في التجارب ، ثم يفرش الحصى المكسر ويتم التأكد من استوائيته أي أن يكون سطح نموذج الحصى المكسر موازيا لقعر القناة ، يمرر بعدها الجريان في القناة وضمن العمق المطلوب ، وبعد فترة زمنية قد تصل إلى ساعتين لكى يستقر نموذج الحصى المكسر وتتوقف حركة مواد القعر عندها يتم إيقاف المضخة ويترك الماء لكي يبزل من القناة تماما من مبزل لصرف الماء والذي هو عبارة عن مشبك حديدي ذي فتحات معينيه الشكل بطول ضلع (٠,٩ سم) و بأبعاد (٢٠٠ م × ٠,٨ م) موضوعة داخل إطار من الألمنيوم مثبت على جدران القناة ثم يسوى سطح الحصى المكسر ثانية ويصفر مقياس العمق الثاني عليه ، تعاد الخطوات السابقة لستة تصاريف أخرى مختلفة ويرفع بعد ذلك الهدار عن الصبة الخرسانية لارتفاع (١ سم) وحينها يصبح عمل الهدار مركبا وذلك لان الجريان

### مجلة جامعة كركوك - الدراسات العلمية المجلد(٥) - العدد(٢) ٢٠١٠

سيمر فوق الهدار ومن أسفله أيضا ، تكرر العملية لارتفاعين آخرين للفتحة أسفل الهدار ، يستبدل الحجم الأول للحصى المكسر بالحجم الثاني، ومن ثم بالحجم الثالث . برنامج التجارب العملية موضح في الجدول (١).

جدول (١): برنامج التجارب العملية

أ) الهدارات

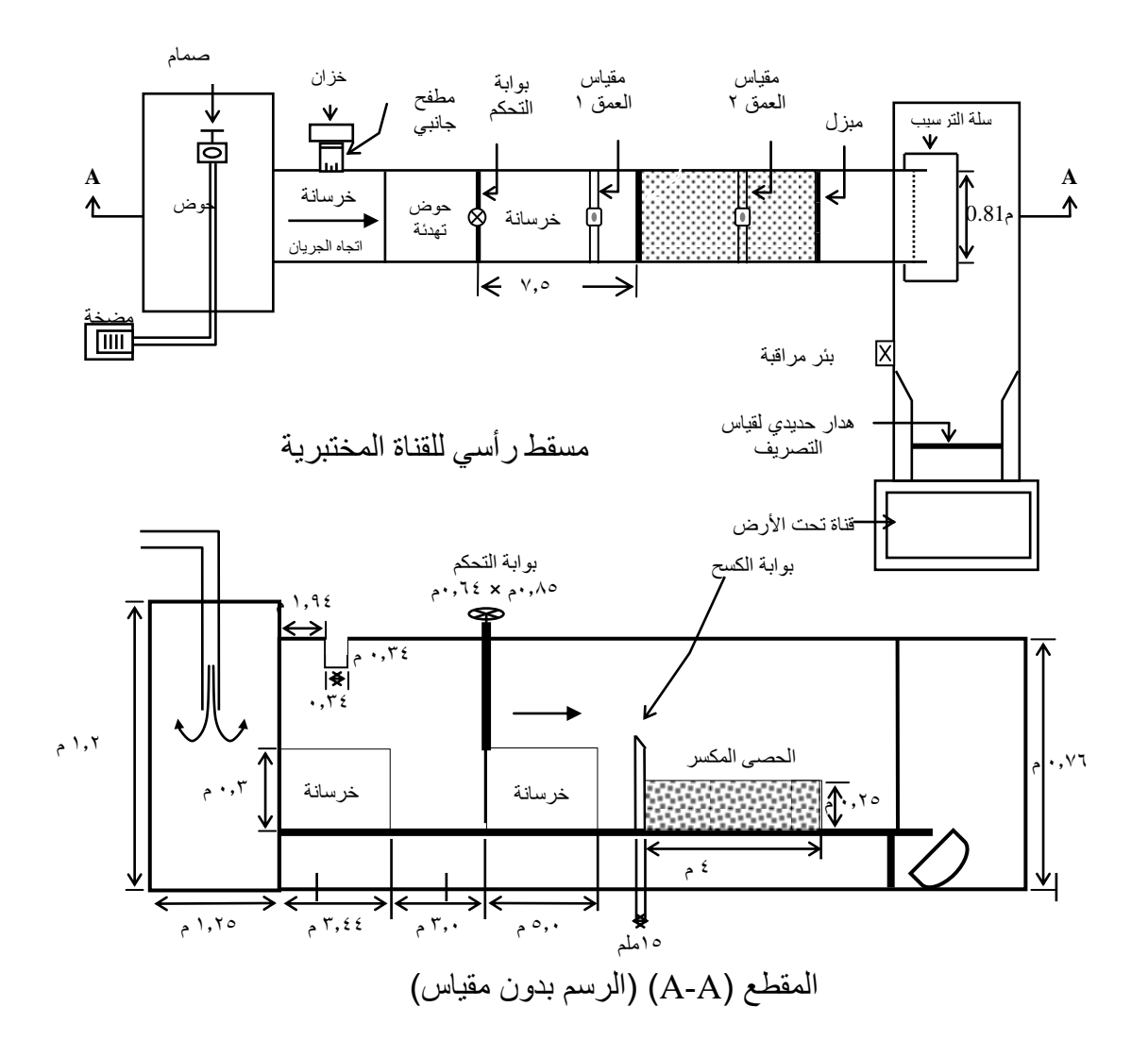
مدى التغير بارتفاع الماء فوق حافة المنشأ (h) (سم)	ارتفاع الهدار (P) (سم)	معدل قطر مواد القعر $({f D}_{50})$ (سم)	رقم التجربة
	10		71-1
۲،۳،٤،٥،٦،٧،٨	۲.	1,27	42-۲۲
	٣.		78-58
	10		71-1
۲،۳،٤،٥،٦،٧،٨	۲.	1,70	42-۲۲
	٣.		74-54
	10		71-1
۲،۳،٤،٥،٦،٧،٨	۲.	۲,۲۱	42-۲۲
	٣.		74-54

### ب) البوابات المركبة

مدى التغير بارتفاع الماء فوق حافة المنشأ (h) (سم)	ارتفاع الفتحة السفلية (h <sub>0</sub> ) (سم)	ارتفاع البوابة -P الم (h <sub>0</sub> ) (سم)	معدل قطر مواد القعر $({f D}_{50})$ (سم)	رقم التجربة
	1			
۲،۳،٤،٥،٦،٧،٨	۲	10		<b>۸٤−٦٤</b>
	٣			
۲،۳،٤،٥،٦،٧،٨	١			
10102000000	۲	۲.	1,54	1.5-10
۲،۳،٤،٥،٦،٧	٣			
۲،۳،٤،٥،٦،٧	١			
1616260666	۲	٣.		171.0
۲،۳،٤،٥	٣			

### ب) البوابات المركبة (تابع)

مدى التغير بارتفاع الماء فوق حافة المنشأ (h) (سم)	ارتفاع الفتحة السفلية (h <sub>0</sub> ) (سم)	ارتفاع البوابة -P المرا) (سم)	معدل قطر مواد القعر (D <sub>50</sub> ) (سم)	رقم التجربة
۲،۳،٤،٥،٦،٧،٨	) 7 7	10		1 2 1 - 1 7 1
۲،۳،۶،۵،۶،۲،۸	7	۲.	1,70	171-157
۲،۳،٤،٥،٦،٧ ۲،۳،٤،٥،٦،٧	١			
۲،۳،٤،٥	٣	٣٠		177-177
۲،۳،٤،٥،٦،٧،٨	7	10		194-174
۲،۳،٤،٥،٦،٧،٨	١			
۲،۳،٤،٥،٦،٧	٣	۲.	7,71	Y 1 A- 1 9 9
۲،۳،٤،٥،٦،٧	7	٣٠		YTE-719
7,7,2,0	٣			



الشكل (1): يوضح مقطع القناة المختبرية

### تحليل ومناقشة النتائج

### التحليل ألبعدي:

إن العوامل المؤثرة على عمق حفرة النحر  $(D_s)$  وطولها  $(L_s)$  مؤخر الهدارات (لاحظ الشكل (Y)) يمكن ذكرها في علاقة عامة وكما يلي ( القطان ، (Y)) : (Y) يمكن ذكرها في علاقة عامة وكما يلي ( القطان ، (Y)) : (Y) يمكن ذكرها في علاقة عامة وكما يلي (Y) الذرق بين منسوب الماء مقدم ومؤخر الهدار ، (Y) التعجيل ألجاذبي ، (Y) الكثافة الكتابية لمواد القعر ، (Y) الكثافة الكتابية للماء .

وباستخدام التحليل ألبعدي يمكن صياغة العلاقة (١٤) على النحو التالى:

$$\frac{D_s}{D_{50}}, \frac{L_s}{D_{50}} = f(\frac{\Delta H_w}{P}, Fr_0, \text{Re})$$
 ...(15)

اذ أن :  $D_s/D_{50}$  العمق النسبي لحفرة النحر ،  $D_{50}$  = الطول النسبي لحفرة النحر ،  $D_{50}$  = الطول النسبي لحفرة النحر ،  $\Delta H_w/P$  = السقوط النسبي لمنسوب الماء مقدم ومؤخر الهدار ،  $\Delta F_v$  = رقم فرود بدلالة كثافة مواد القعر ويساوي = Re ،  $\left(q_w/\sqrt{g\frac{\Delta\rho}{\rho_{so}}D_{50}^3}\right)$  = رقم رينولدز للجريان ويساوي

و  $\Delta \rho = \Delta \rho$  الفرق بين الكثافة الكتلية لمواد القعر والكثافة الكتلية للماء وتساوي  $(q_w \, \rho_w / \mu)$ .

اما بالنسبة للبوابات المركبة فيمكن استبدال  $(q_w)$  بالتصريف الكلي لوحدة العرض المار في القناة  $(q_t)$  واضافة التصريف لوحدة العرض المار أعلى البوابة المركبة  $(q_u)$  والتصريف لوحدة العرض المار أسفل البوابة المركبة  $(q_d)$  حيث أن  $(q_t = q_u + q_d)$  واضافة ارتفاع الفتحة السفلية للبوابة المركبة  $(h_0)$  ولذا يمكن كتابة العلاقة العامة للعوامل المؤثرة على عمق وطول حفرة النحر مؤخر البوابات المركبة (لاحظ الشكل (T)) كما يلى :

$$D_{s}, L_{s} = f(q_{t}, q_{u}, q_{d}, D_{50}, P, \Delta H_{t}, h_{0}, \rho_{s}, \rho_{w}, \mu) \qquad ...(16)$$

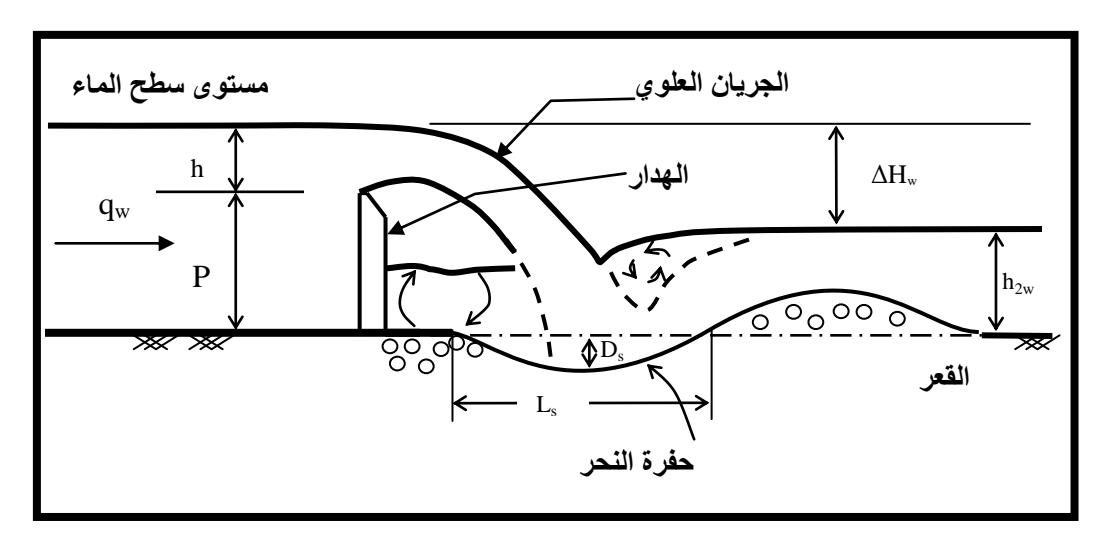
اذ أن  $\Delta H_{\rm t}$  الفرق بين منسوب الماء مقدم ومؤخر البوابة المركبة.

ويمكن استخدام طريقة التحليل ألبعدي لصياغة العلاقة (١٦) على النحو التالى:

$$\frac{D_{s}}{D_{50}}, \frac{L_{s}}{D_{50}} = f(\frac{\Delta H_{t}}{P}, \frac{h_{0}}{\Delta H_{t}}, \frac{q_{u}}{q_{d}}, Fr_{0}, Re) \qquad ...(17)$$

اذ أن  $\Delta H_{\rm t}$  = السقوط النسبي لمنسوب الماء مقدم ومؤخر البوابة المركبة ،  $\Delta H_{\rm t}/P$ : الارتفاع النسبي لفتحة البوابة المركبة ،  $q_{\rm u}/q_{\rm d}$  = نسبة التصريف المار أعلى البوابة المركبة الكي التصريف المار أسفلها (التصريف النسبي) ،  ${\rm Fr}_{\rm o}$  =  ${\rm Cis}$  ويساوي ( $q_{\rm t}/\rho_{\rm w}/\mu$ ) و  ${\rm Re}$  =  ${\rm Cis}$  ويساوي ( $q_{\rm t}/\rho_{\rm w}/\mu$ ) و  ${\rm Re}$  =  ${\rm Cis}$  ويساوي ( $q_{\rm t}/\rho_{\rm w}/\mu$ ) و  ${\rm Re}$ 

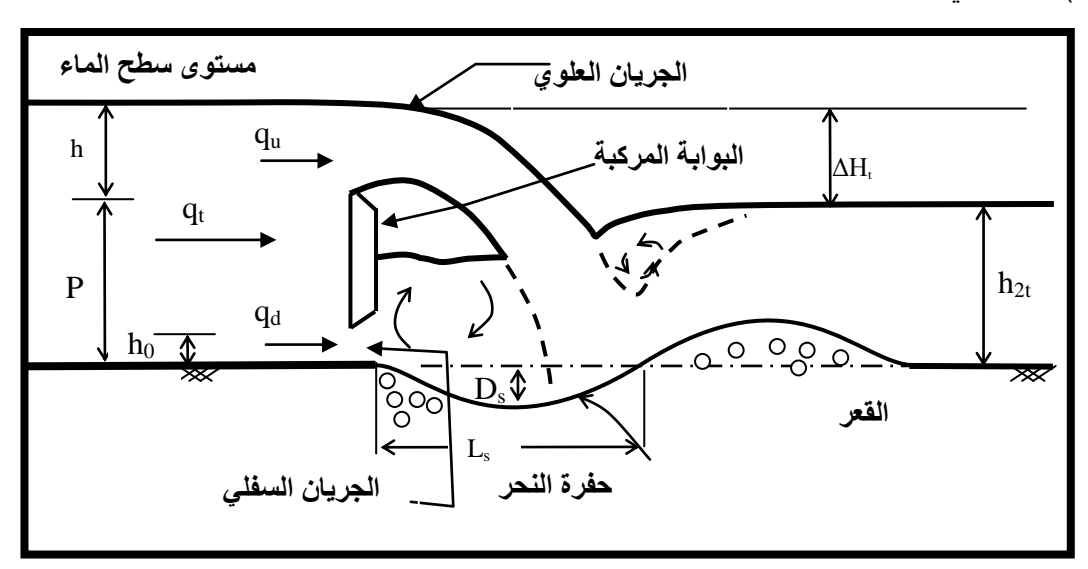
عندما تكون قيم ارقام رينولدز (Re) عالية يصل الجريان الى الاضطراب الكامل عندها يضمحل تأثير رقم رينولدز في القنوات المفتوحة وبذلك يمكن اهماله (Chow,1959) ونتيجة لذلك يمكن إسقاط تأثيره من العلاقات (١٥) و(١٧).



الشكل (٢): مخطط توضيحي للنحر مؤخر الهدارات

العلاقة بين خصائص حفرة النحر مؤخر الهدارات والمتغيرات المؤثرة عليها العلاقة بين العمق النسبي ( $D_s/D_{50}$ ) والطول النسبي ( $D_s/D_{50}$ ) لحفرة النحر مع رقم فرود ( $Fr_0$ ) للهدارات:

يعتبر رقم فرود ( $Fr_0$ ) عاملاً مهماً ومؤثراً على خصائص النحر ومن تحليل البيانات المختبرية اتضح بأن العلاقة الخطية هي أفضل العلاقات التي تربط ( $D_s/D_{50}$ ) و ( $D_s/D_{50}$ ) مع ( $Fr_0$ ) و كما يلى :



الشكل (3): مخطط توضيحي للنحر مؤخر البوابات المركبة

$$\frac{D_s}{D_{50}} = a_1 + b_1 \times Fr_0 \qquad ....(18)$$

$$\frac{L_s}{D_{50}} = a_2 + b_2 \times Fr_0 \qquad ...(19)$$

ولقد تم الحصول على قيم المعاملات  $(b_1, a_1)$  و  $(b_1, a_1)$  للمعادلتين (1) و (1) و (1) بثبوت قيم قطر الحصى وبثبوت ارتفاع الهدار وكما موضح في الجدولين (1) و (1) و (1) و الاشكال من (1) قيم قطر الحصى وبثبوت ارتفاع الهدار وكما موضح في الجدولين (1) و (1) و النسبي والطول النسبي يزدادان بزيادة قيمة (1) وهذا متوقع حيث أن زيادة قيمة (1) ينتج من زيادة التصريف والذي بدوره يزيد عملية النحر وان الاقطار الصغيرة للحصى تعطي قيمة أكبر للنحر وان النحر وان النحر وان النحر وان النحر وان النحر وان الاقطار الصغيرة للحصى المستخدم وزيادة الارتفاع يعني زيادة ارتفاع سقوط الماء عمودياً واصطدامه مع الطبقة الحصوية للقعر مما يؤدي اليوزيادة النحر وان معامل التحديد (1) و (1) و الكل الحالات قد تراوح بين (1) و (1) و (1) بالنسبة للعمق النسبي للنحر وبين (1) و (1) و (1)

# علاقات وضعية لحساب العمق النسبي $(D_s/D_{50})$ والطول النسبي $(L_s/D_{50})$ لحفرة النحر مؤخر الهدارات:

لقد تم ادخال البيانات المتضمنة عمق وطول النحر مـوخر الهـدارات فـي البرنـامج الاحصائي (SPSS-11.5) للحصول على علاقتين وضعيتين الاولى لحساب العمـق النسـبي ( $D_s/D_{50}$ ) والثانية لحساب الطول النسبي ( $L_s/D_{50}$ ) لحفرة النحر بدلالة المتغيـرات اللابعديـة ( $\Delta H_w/P$ ) و  $\Delta H_w/P$ ) و كما يلى :

$$\frac{D_s}{D50} = 0.971 \quad (Fr_0)^{0.989} \quad (\frac{\Delta Hw}{P})^{0.291} \qquad \dots (20)$$

$$\frac{L_s}{D_{50}} = 4.114 \ (Fr_0)^{0.825} \ (\frac{\Delta H_w}{P})^{0.326} \qquad \dots (21)$$

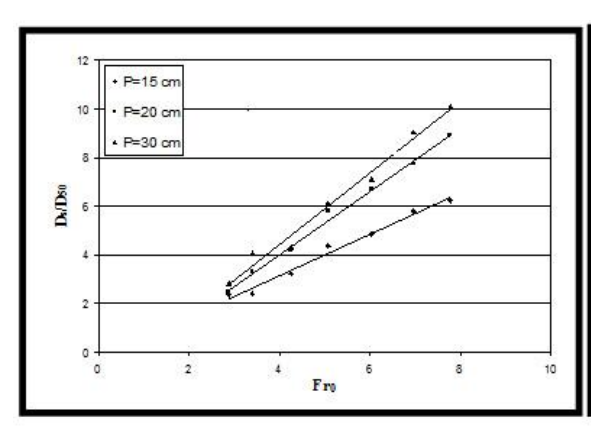
حيث تم الحصول على المعادلة (٢٠) بمعامل تحديد ( $\mathbb{R}^2$ ) تساوي (٠,٩٣١١) وتم الحصول على المعادلة (٢١) بمعامل تحديد ( $\mathbb{R}^2$ ) يساوي (٠,٩٤٢١) .

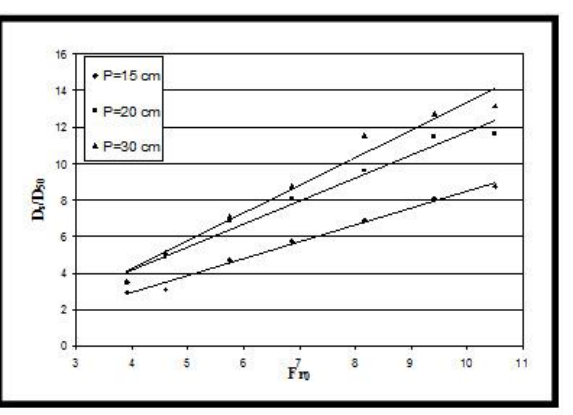
(18)	للمعادلة	التحديد	ومعاملات	bı	4 a1	المعاملات	: قىم	(2)	حدهال
1-01		**		~ 1	2		V 48	1-1	-

الحالة	$(D_{50} = 1.43 \text{ cm}) (A)$ النموذج			$(D_{50} = 1)$	.75cm) (E	النموذج (8	(D <sub>50</sub> = 2.21cm) (C) النموذج		
P (cm)	a <sub>1</sub>	$b_1$	R <sup>2</sup>	$\mathbf{a}_1$	$b_1$	$\mathbb{R}^2$	a <sub>1</sub>	$b_1$	R <sup>2</sup>
15	-0.7936	0.9281	0.9911	-0.2722	0.8545	0.9858	-0.6265	0.8822	0.9846
20	-0.9219	1.2665	0.9744	-1.1771	1.3006	0.9941	-1.3128	1.1547	0.9858
30	-1.804	1.5158	0.9729	-1.4152	1.4675	0.9837	-1.257	1.2933	0.9713

### (19) قيم المعاملات $a_2$ و $a_2$ التحديد للمعادلة (3) جدول

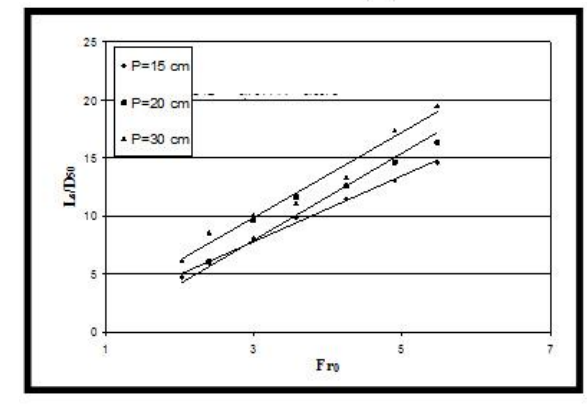
الحالة	(D <sub>50</sub> = 1.43 cm) (A) النموذج			$(D_{50} = 1)$	.75cm) (E	النموذج (3	(D <sub>50</sub> = 2.21cm) (C) النموذج		
P (cm)	a <sub>1</sub>	$b_1$	R <sup>2</sup>	<b>a</b> <sub>1</sub>	$b_1$	R <sup>2</sup>	a <sub>1</sub>	$b_1$	R <sup>2</sup>
15	-0.4408	2.5924	0.9947	-0.3374	2.6759	0.9801	-0.7005	2.8373	0.9943
20	-5.3826	3.8617	0.9636	-2.8048	3.5105	0.9753	-3.3378	3.7544	0.9199
30	-5.7107	4.4476	0.9715	-2.4703	3.7781	0.9696	-1.1376	3.6749	0.9734

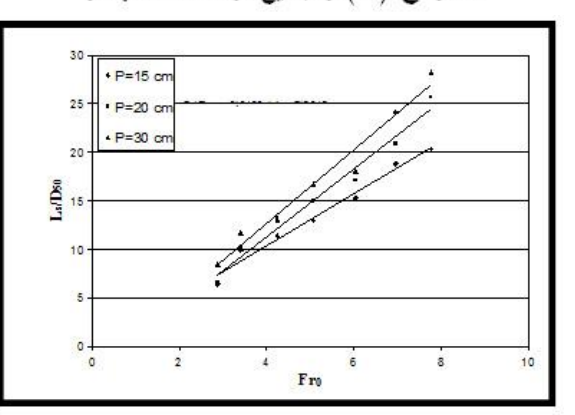




 $(Fr_0)$  و  $(D_s/D_{50})$  و يين (5) العلاقة بين للنموذج (B) ولجميع ارتفاعات الهدار

 $(Fr_0)$  و  $(D_s/D_{50})$  و بين (A) و (A) و للنموذج للنموذج (A) ولجميع ارتفاعات الهدار





 $(Fr_0)$  و  $(L_s/D_{50})$  و بين (9) و شكل (9) العلاقة بين (C) ولجميع ارتفاعات الهدار

 $(Fr_0)$  و  $(L_s/D_{50})$  و بين (8) و شكل (8) العلاقة بين (B) ولجميع التموذج

العلاقة بين خصائص حفرة النحر مؤخر البوابات المركبة والمتغيرات المؤثرة عليها علاقة العمق النسبي ( $D_s/D_{50}$ ) والطول النسبي ( $D_s/D_{50}$ ) لحفرة النحر مع رقم فرود ( $D_s/D_{50}$ ) للبوابات المركبة :

تم معالجة البيانات المستقاة من التجارب المختبرية بواسطة الحاسوب واتضح بأن أفضل علاقة تربط العمق النسبي ( $D_s/D_{50}$ ) والطول النسبي ( $D_s/D_{50}$ ) مع رقم فرود للبوابات المركبة هي العلاقة الخطية وبالشكل التالي :

$$\frac{D_s}{D_{50}} = a_3 + b_3 \times Fr_0 \qquad ...(22)$$

$$\frac{L_s}{D_{50}} = a_4 + b_4 \times Fr_0 \qquad ...(23)$$

وتم الحصول على قيم المعاملات ( $a_3$  و ( $b_3$  و ( $a_4$ ) و ( $b_3$  و ( $a_4$ ) و ( $a_4$ ) وبنبوت قطر الحصى المستخدم وبنبوت ارتفاع الفتحة أسفل البوابة المركبة لكل حالة مدروسة وكما موضح في الجداول من ( $a_4$ ) إلى ( $a_4$ ) و الأشكال من ( $a_4$ ) إلى ( $a_4$ ) توضح العلاقات لقطر الحصى في الجداول من ( $a_4$ ) إلى ( $a_4$ ) و الأشكال للأقطار الأخرى هي بنفس النمط . ومن هذه الجداول و الأشكال يتضح بان العلاقات طردية وان قيم العمق و الطول النسبيين للنحر تزداد بزيادة قيمة ( $a_4$ ) ولكل الفتحات أسفل البوابة المركبة و لاية قيمة من قيم ( $a_4$ ) فان قيم العمق و الطول تزداد بزيادة المناء الرتفاع البوابة وتقل بزيادة قطر مواد القعر حيث أن البوابة الأعلى تزيد من ارتفاع سقوط الماء الذي يصطدم بالحصى ويرفعه الى الاعلى ومن ثم التصريف المار تحت البوابة المركبة يزيح الحصى بعيداً وكما اتصح بان معامل التحديد ( $a_4$ ) للعلاقات المستنجة قد تراوح بين المحمى بعيداً وكما اتصح على علاقات العمق النسبي وبين ( $a_4$ ) العلاقات المستنجة ما يدل كذلك على علاقات طردية جيدة .

# علاقة العمق النسبي $(D_s/D_{50})$ و الطول النسبي $(L_s/D_{50})$ لحفرة النحر مع التصريف النسبي $(q_u/q_d)$ للبوابات المركبة

نظراً لاهمية ما يتسبب به التغيير في نسبة التصريف المار فوق البوابة الى التصريف المار تحتها  $(q_u/q_d)$  على العمق والطول النسبيين مؤخر البوابات المركبة فقد تـم تحـليـل البيانات المختبرية ووجد بان العلاقة التي تربط بين المتغيرات هي علاقة خطية وكما موضحة في أدناه:

$$\frac{D_s}{D_{50}} = a_5 + b_5 \times \frac{q_u}{q_d} \qquad ...(24)$$

#### مجلة جامعة كركوك - الدراسات العلمية المجلد(٥) - العدد(٢) ٢٠١٠

$$\frac{L_s}{D_{50}} = a_6 + b_6 \times \frac{q_u}{q_d} \qquad ...(25)$$

## (A) و قيم المعاملات $a_3$ و $a_3$ و المعاملات (22) و النموذج (4) و المعاملات (4) و المعاملات (4) و المعاملات ( $a_3$ و المعاملات ( $a_4$ المركبة ( $a_5$ المركبة ( $a_5$ المركبة ( $a_5$ المركبة ( $a_5$

الحالة D <sub>50</sub> =1.43 (cm)	A000-000	ئتحة البوابة h <sub>0</sub> = 1 cm		A000-100	نتحة البوابة h <sub>0</sub> = 2 cm		ارتفاع فتحة البوابة المركبة h <sub>0</sub> = 3 cm			
P - h <sub>0</sub> (cm)	a <sub>3</sub>	b <sub>3</sub>	R <sup>2</sup>	<b>a</b> <sub>3</sub>	b <sub>3</sub>	R <sup>2</sup>	a <sub>3</sub>	<b>b</b> <sub>3</sub>	R <sup>2</sup>	
15	-2.0927	0.7488	0.9866	-2.924	0.6965	0.9949	-1.6741	0.6167	0.9659	
20	-5.2896	1.4076	0.972	-1.9567	1.0957	0.9822	-0.3691	0.9464	0.9076	
30	-6.162	1.7568	0.986	-1.1723	1.2431	0.9598	2.0291	1.1374	0.9974	

## (B) و فيم المعاملات $a_3$ و $a_3$ و ومعامل التحديد للمعادلة (22) وللنموذج (D $_{50}$ =1.75 cm)

الحالة D <sub>50</sub> =1.75 (cm)	ارتفاع فتحة البوابة المركبة h <sub>0</sub> = 1cm			50,7,00	فتحة البوابة h <sub>0</sub> = 2cm	19000	ارتفاع فتحة البوابة المركبة h <sub>0</sub> = 3cm			
P - h <sub>0</sub> (cm)	a <sub>3</sub>	<b>b</b> <sub>3</sub>	R <sup>2</sup>	a3	<b>b</b> <sub>3</sub>	R <sup>2</sup>	<b>a</b> 3	b <sub>3</sub>	R <sup>2</sup>	
15	-2.4040	0.8189	0.9882	-3.275	0.8282	0.9696	-2.5827	0.7444	0.9523	
20	-3.1222	1.0511	0.987	-5.3727	1.4626	0.9871	0.2542	0.7164	0.9833	
30	-2.6035	1.3726	0.9531	1.9821	0.8154	0.9496	-1.2891	1.3652	0.9988	

# (C) و للنموذج (a3 و $a_3$ و المعاملات $a_3$ و المعاملات و $a_3$ و المعاملات و (b3) و المعاملات ( $a_3$ و المركبة ( $a_5$ و المركبة ( $a_5$ و المركبة المركبة ( $a_5$

الحالة D <sub>50</sub> =2.21 (cm)	120 2000	فتحة البوابة h <sub>0</sub> = 1 cm		Mr. 450-D	ار تفاع فتحة البوابة المركبة ${ m h}_0=2~{ m cm}$			ارتفاع فتحة البوابة المركبة ${ m h}_0=3~{ m cm}$			
P - h <sub>0</sub> (cm)	a <sub>3</sub>	b <sub>3</sub>	R <sup>2</sup>	a <sub>3</sub>	b <sub>3</sub>	R <sup>2</sup>	a <sub>3</sub>	b <sub>3</sub>	R <sup>2</sup>		
15	-1.5946	0.7482	0.9472	-2.2783	0.7332	0.9456	-2.9198	0.8771	0.9835		
20	-2.5227	1.0223	0.9848	-0.7598	0.6883	0.9447	-2.4828	0.9649	0.9303		
30	-2.1563	1.1947	0.9193	-1.0063	1.0542	0.964	0.1273	1.0619	0.9664		

#### مجلة جامعة كركوك - الدراسات العلمية المجلد(٥) - العدد(٢) ٢٠١٠

### (A) والمعاملات $a_4$ و $a_4$ والمعاملة (23) والمعادلة (4) والمعاملات $a_4$ والمعاملات $a_4$ والمعاملات $a_4$ والمعاملات $a_4$ والمعاملات مختلفة المعاملة المعاملات $a_4$ والمعاملات مختلفة المعاملات والمعاملات والمعاملات

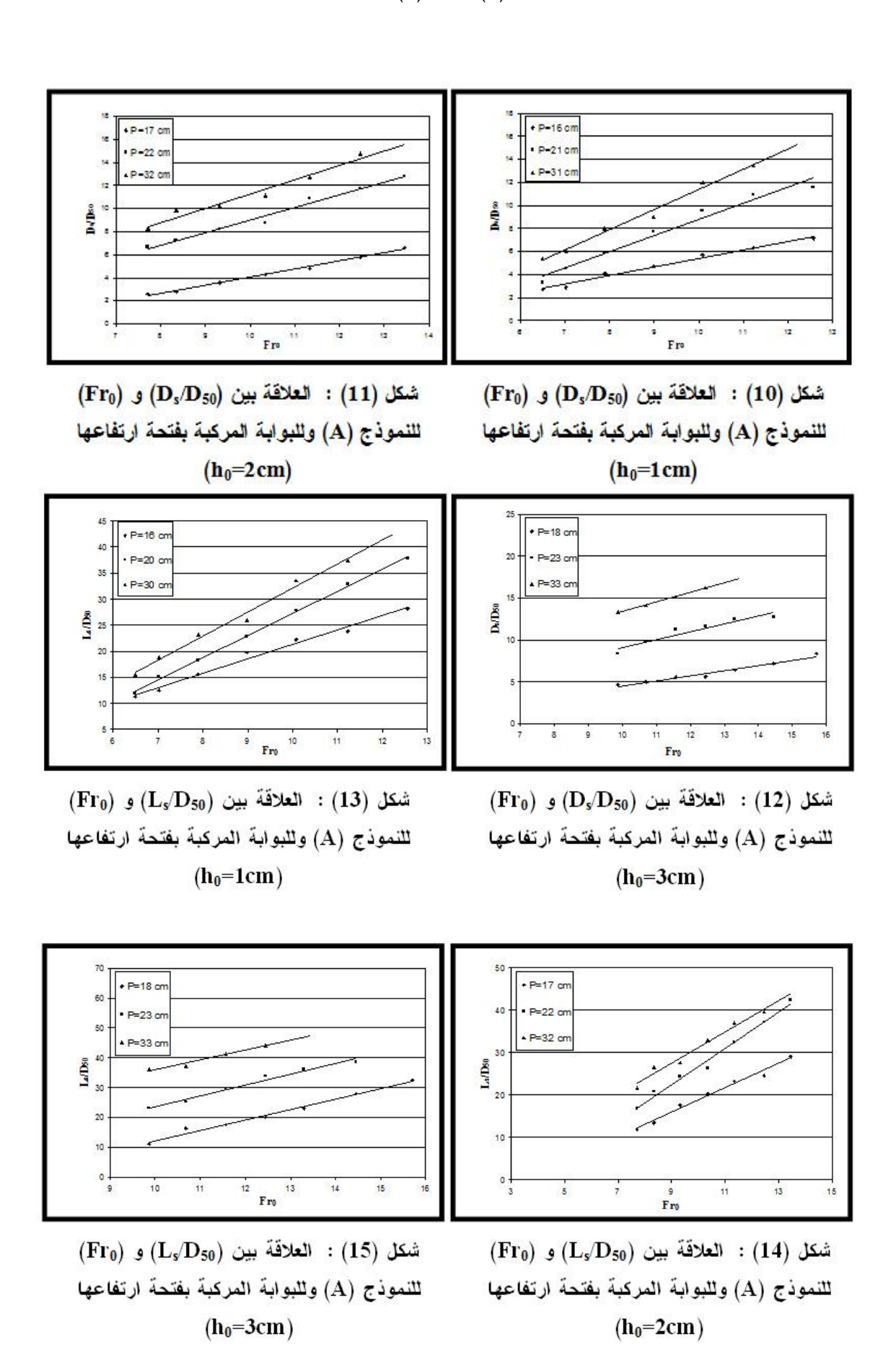
الحالة D <sub>50</sub> =1.43 (cm)	25 36	فتحة البوابة h <sub>0</sub> = 1 cm	STATE CORN	25 96	نتحة البوابة h <sub>0</sub> = 2 cm	STATE CORES	ارتفاع فتحة البوابة المركبة ${ m h}_0 = 3 { m \ cm}$			
P - h <sub>0</sub> (cm)	a4	b <sub>4</sub>	R <sup>2</sup>	a4	b <sub>4</sub>	R <sup>2</sup>	a <sub>4</sub>	b <sub>4</sub>	R <sup>2</sup>	
15	-6.3194	2.7597	0.9861	<b>-</b> 9.97	2.8747	0.9851	-22.553	3.4771	0.9849	
20	-15.344	4.2626	0.9985	-15.875	4.2636	0.9873	-12.283	3.5969	0.9768	
30	-14.15	4.6275	0.9871	-5.6788	3.6854	0.9745	2.891	3.2987	0.9633	

## (B) و المعاملات $(B_3)$ و المعاملات $(B_3)$ و المعاملات $(B_3)$ و المعاملات $(B_3)$ و المعاملات $(B_5)$ و المعاملات $(B_5)$ و المعاملات $(B_5)$

الحالة D <sub>50</sub> =1.75 (cm)	ten seems	ئتحة البوابة h <sub>0</sub> = 1 cm	00-00 SSSSS	165 35000	نتحة البوابة h <sub>0</sub> = 2 cm	( Sec. )	ارتفاع فتحة البوابة المركبة ${ m h}_0=3~{ m cm}$			
$P - h_0$ (cm)	a <sub>4</sub>	b <sub>4</sub>	R <sup>2</sup>	a4	b <sub>4</sub>	R <sup>2</sup>	a <sub>4</sub>	b <sub>4</sub>	R <sup>2</sup>	
15	-7.7237	3.174	0.9891	-9.1376	3.037	0.9772	-15.976	3.4364	0.9833	
20	-9.1734	3.7608	0.9895	-9.1938	3.357	0.9311	-13.592	3.7702	0.9733	
30	-15.103	5.2034	0.9971	-10.355	4.3292	0.9734	1.749	2.881	0.989	

## (C) قيم المعاملات $a_3$ و $a_3$ ومعامل التحديد للمعادلة $a_3$ ولانموذج ( $a_3$ ) ولانموذج ( $a_3$ ) ولارتفاعات مختلفة لفتحة البوابة المركبة ( $a_3$ ) ولارتفاعات مختلفة لفتحة البوابة المركبة

الحالة D <sub>50</sub> =2.21 (cm)		ئتحة البوابة h <sub>0</sub> = 1 cm	(C)		ار تفاع فتحة البو ابة المركبة $h_0 = 2 \text{ cm}$			ارتفاع فتحة البوابة المركبة $h_0 = 3 \text{ cm}$			
P - h <sub>0</sub> (cm)	a <sub>4</sub>	b <sub>4</sub>	R <sup>2</sup>	a <sub>4</sub>	b <sub>4</sub>	R <sup>2</sup>	a <sub>4</sub>	b <sub>4</sub>	R <sup>2</sup>		
15	-5.2824	3.232	0.982	-8.1715	3.4493	0.99	-10.941	3.3639	0.9728		
20	-11.681	4.6185	0.9894	-9.2087	3.6618	0.9883	-10.648	3.6863	0.8944		
30	-10.264	4.8242	0.9937	-6.0391	3.8596	0.9444	-4.6105	3.6911	0.986		



وبإدخال البيانات التي تم الحصول عليها من التجارب المختبرية في البرنامج الجاهز (Excel) و (٢٥) بثبوت قطر تم الحصول على قيم المعاملات ( $a_6$  و  $b_5$ ) و ( $a_5$  و  $b_5$ ) و ( $a_5$ ) بثبوت قطر الحصى المستخدم وبثبوت ارتفاع الفتحة أسفل البوابة لكل حالة مدروسة وكما موضح في الجداول من ( $a_5$ ) ، والأشكال من ( $a_5$ ) الى ( $a_5$ ) ، والأشكال من ( $a_5$ ) الى ( $a_5$ ) المستخدمة ولارتفاعات مختلفة لفتحة البوابة السفلية وارتفاع البوابة المركبة ( $a_5$ ) المستخدمة ولارتفاعات الأخرى البوابة المركبة هي بنفس النمط ومن هذه الأشكال والجداول أما الأشكال للارتفاعات الأخرى البوابة المركبة هي بنفس النمط ومن هذه الأشكال والجداول يتضح بان قيم العمق والطول النسبيين تزداد بزيادة التصريف النسبي ولكل الحالات المدروسة وزيادة التصريف الساقط من فوق حافة البوابة ومن ثم تحريك الحصى أكثر بينما يساعد التصريف المار تحت البوابة على ازاحة الحصى بعيداً وبذلك تكون عملية النحر اسهل وكما يتضح بان معامل التحديد ( $a_5$ ) ولكل الحالات المدروسة قد تراوح عملية النحر اسهل وكما يتضح بان معامل التحديد ( $a_5$ ) ولكل الحالات المدروسة قد تراوح عملية النحر على علاقات طردية جيدة .

# علاقات وضعية لحساب العمق النسبي $(D_s/D_{50})$ والطول النسبي $(L_s/D_{50})$ لحفرة النحر مؤخر البوابات المركبة

لقد تم إدخال البيانات المختبرية المتعلقة بعمق وطول النحر مؤخر البوابات المركبة في البرنامج الإحصائي (SPSS-11.5) للحصول على علاقتين وضعيتين إحداهما لحساب العمق النسبي ( $D_s/D_{50}$ ) والأخرى لحساب الطول النسبي ( $D_s/D_{50}$ ) لحفرة النحر بدلالة المتغيرات اللابعدية ( $D_s/D_{50}$ ) و ( $D_s/D_{50}$ ) و ( $D_s/D_{50}$ ) و كما يأتي :

$$\frac{D_s}{D_{50}} = 1.421 \frac{(Fr_0)^{0.751} \left(\frac{\Delta H_t}{P}\right)^{0.451} \left(\frac{q_u}{q_d}\right)^{0.517}}{\left(\frac{h_0}{\Delta H_t}\right)^{0.122}} \dots (26)$$

$$\frac{L_{s}}{D_{50}} = 3.1232 \quad \frac{(Fr_{0})^{0.899} \left(\frac{\Delta H_{t}}{P}\right)^{0.246} \left(\frac{q_{u}}{q_{d}}\right)^{0.621}}{\left(\frac{h_{0}}{\Delta H_{t}}\right)^{0.171}} \qquad \qquad \dots (27)$$

ولقد تم الحصول على المعادلة (٢٦) بمعامل تحديد ( $\mathbb{R}^2$ ) يساوي ( $\mathfrak{r}, \mathfrak{r}, \mathfrak{r}, \mathfrak{r}, \mathfrak{r}, \mathfrak{r}$  وتم الحصول على المعادلة ( $\mathfrak{r}$ ) بمعامل تحديد ( $\mathbb{R}^2$ ) يساوي ( $\mathfrak{r}, \mathfrak{r}, \mathfrak{r}, \mathfrak{r}, \mathfrak{r}, \mathfrak{r}$  ).

 $P-h_0=15$  ) قيم المعاملات  $a_5$  و  $a_5$  و معامل التحديد للمعادلة (24) ولحالة (10) وبدالة  $a_5$  ولارتفاعات مختلفة لفتحة البوابة المركبة وأقطار مختلفة لحصى القعر

الحالة P-h <sub>0</sub> = 15 (cm)	200	نتحة البوابة h <sub>0</sub> = 1 cm	00.00	ار نفاع فتحة البوابة المركبة $h_0 = 2 \text{ cm}$			ارتفاع فتحة البوابة المركبة $ ho_0 = 3 \; cm$		
D <sub>50</sub> (cm)	a <sub>5</sub>	b <sub>5</sub>	R <sup>2</sup>	a <sub>5</sub>	b <sub>5</sub>	R <sup>2</sup>	a <sub>5</sub>	<b>b</b> <sub>5</sub>	R <sup>2</sup>
1.43	1.7525	6.3134	0.9875	1.7899	6.3715	0.9947	3.9045	6.9762	0.9613
1.75	0.7063	5.1128	0.9904	0.8907	5.5629	0.9543	2.3829	6.29	0.9655
2.21	0.3949	3.3958	0.9608	0.2904	3.5266	0.9647	1.1999	5.1996	0.9919

 $P-h_0=20$  ) قيم المعاملات  $a_5$  و  $a_5$  ومعامل التحديد للمعادلة (24) ولحالة  $a_5$  القعر (11) ولارتفاعات مختلفة لفتحة البوابة المركبة وأقطار مختلفة لحصى القعر

الحالة P-h <sub>0</sub> = 20 (cm)	ارتفاع فتحة البوابة المركبة h <sub>0</sub> = 1 cm			ار نفاع فتحة البوابة المركبة h <sub>0</sub> = 2 cm			ار تفاع فتحة البوابة المركبة $ ho_0 = 3 \; cm$		
D <sub>50</sub> (cm)	a <sub>5</sub>	b <sub>5</sub>	R <sup>2</sup>	a <sub>5</sub>	b <sub>5</sub>	R <sup>2</sup>	a <sub>5</sub>	b <sub>5</sub>	R <sup>2</sup>
1.43	1.8182	12.357	0.9857	5.6136	9.4018	0.9698	8.0998	8.8633	0.898
1.75	0.8291	6.7784	0.9863	2.1582	9.1593	0.9479	4.9883	4.9952	0.9847
2.21	0.1938	4.6099	0.9723	1.6969	3.1201	0.9607	1.9925	4.7632	0.9437

 $P-h_0=30$  ) قيم المعاملات  $a_5$  و  $a_5$  ومعامل التحديد للمعادلة (24) ولحالة ( $a_5$  ) وكارتفاعات مختلفة لفتحة البوابة المركبة وأقطار مختلفة لحصى القعر

الحالة P-h <sub>0</sub> = 30 (cm)	(5.5	ارتفاع فتحة البوابة المركبة h <sub>0</sub> = 1 cm			ارتفاع فتحة البوابة المركبة $ ho_0 = 2 \;  m cm$			ارتفاع فتحة البوابة المركبة $ ho_0 = 3 \; cm$		
D <sub>50</sub> (cm)	<b>a</b> <sub>5</sub>	b <sub>5</sub>	R <sup>2</sup>	<b>a</b> <sub>5</sub>	b <sub>5</sub>	R <sup>2</sup>	a <sub>5</sub>	b <sub>5</sub>	R <sup>2</sup>	
1.43	2.585	15.47	0.9438	6.9919	12.594	0.9706	12.169	14.163	1	
1.75	2.4522	8.9502	0.9133	5.9494	6.0989	0.956	7.7212	12.555	0.9974	
2.21	0.9235	5.5169	0.893	2.616	5.5022	0.9551	5.047	6.9272	0.9814	

 $P-h_0=15$  ) قيم المعاملات  $a_6$  و  $a_6$  ومعامل التحديد للمعادلة (25) ولحالة ( $a_6$  ) ولارتفاعات مختلفة لفتحة البوابة المركبة وأقطار مختلفة لحصى القعر

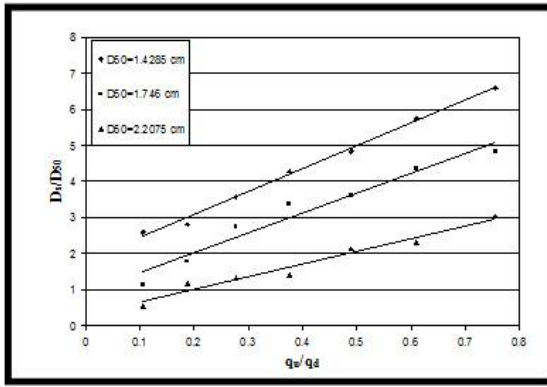
الحالة P-h <sub>0</sub> = 15 (cm)	ارتفاع فتحة البوابة المركبة h <sub>0</sub> = 1 cm			ارتفاع فتحة البوابة المركبة h <sub>0</sub> = 2 cm			ارتفاع فتحة البوابة المركبة h <sub>0</sub> = 3 cm		
D <sub>50</sub> (cm)	a <sub>6</sub>	b <sub>6</sub>	R <sup>2</sup>	a <sub>6</sub>	b <sub>6</sub>	$\mathbb{R}^2$	a <sub>6</sub>	b <sub>6</sub>	R <sup>2</sup>
1.43	7.865	23.241	0.9847	9.5073	26.241	0.9809	8.9141	39.3	0.9784
1.75	4.3115	19.86	0.9955	6.054	20.606	0.9815	7.0112	28.833	0.9829
2.21	3.3247	14.253	0.9924	4.031	16.299	0.9747	4.8937	19.832	0.9702

 $P-h_0=20$  ) قيم المعاملات  $a_6$  و  $a_6$  ومعامل التحديد للمعادلة (25) ولحالة ( $a_6$ cm) ولارتفاعات مختلفة لفتحة البوابة المركبة وأقطار مختلفة لحصى القعر

الحالة P-h <sub>0</sub> = 20 (cm)	ارتفاع فتحة البوابة المركبة h <sub>0</sub> = 1 cm			ارتفاع فتحة البوابة المركبة $h_0 = 2 \mathrm{cm}$			ارتفاع فتحة البوابة المركبة h <sub>0</sub> = 3 cm		
D <sub>50</sub> (cm)	a <sub>6</sub>	b <sub>6</sub>	R <sup>2</sup>	a <sub>6</sub>	b <sub>6</sub>	R <sup>2</sup>	a <sub>6</sub>	b <sub>6</sub>	R <sup>2</sup>
1.43	6.3209	37.121	0.9964	13.582	36.588	0.975	19.859	33.827	0.9745
1.75	5.0162	24.143	0.9798	8.1028	20.995	0.8917	11.303	26.352	0.9794
2.21	0.5156	20.986	0.9919	3.9695	16.337	0.9735	6.4667	18.145	0.902

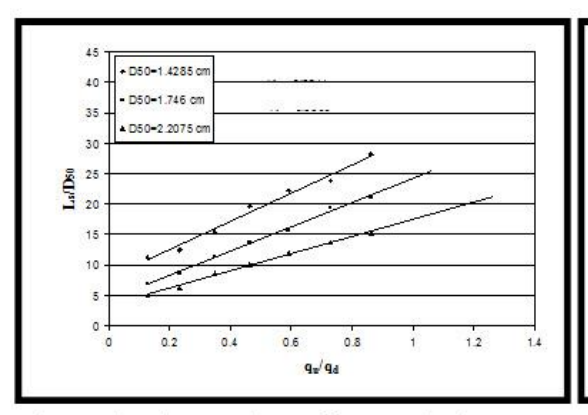
 $P-h_0=30$  ) قيم المعاملات  $a_6$  و  $a_6$  ومعامل التحديد للمعادلة (25) ولحالة (  $a_6$ cm) ولارتفاعات مختلفة لفتحة البوابة المركبة وأقطار مختلفة لحصى القعر

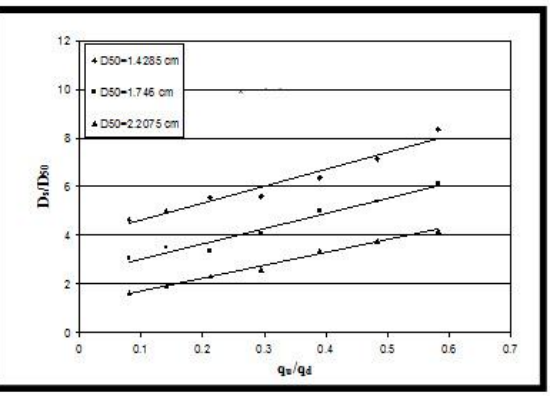
الحالة P-h <sub>0</sub> = 30 (cm)	ارتفاع فتحة البوابة المركبة h <sub>0</sub> = 1 cm			ار نفاع فتحة البوابة المركبة $h_0 = 2   \mathrm{cm}$			ار نفاع فتحة البوابة المركبة $h_0 = 3   cm$		
D <sub>50</sub> (cm)	a <sub>6</sub>	b <sub>6</sub>	R <sup>2</sup>	a <sub>6</sub>	b <sub>6</sub>	R <sup>2</sup>	a <sub>6</sub>	b <sub>6</sub>	R <sup>2</sup>
1.43	8.692	41.23	0.9672	18.557	37.23	0.9801	32.283	41.149	0.9693
1.75	3.8683	34.397	0.9821	10.74	32.285	0.9741	20.751	26.57	0.9932
2.21	2.2489	22.093	0.9493	7.2023	20.209	0.9416	12.507	23.987	0.9937



شكل (16) : العلاقة بين  $({
m D}_{
m s}/{
m D}_{
m 50})$  و  $P-h_0$ ) للبوابة المركبة بارتفاع ( $q_u/q_d$ )  $(h_0=1cm)$  وبفتحة ارتفاعها (=15cm ولجميع نماذج مواد القعر ولجميع نماذج مواد القعر

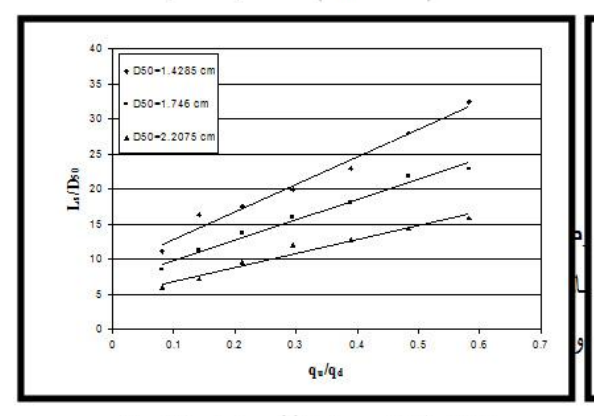
◆D50=1.4285 cm





شكل  $(q_u/q_d)$  : العلاقة بين  $(D_s/D_{50})$  و  $(q_u/q_d)$  و المحلوابة المركبة بارتفاع  $(P-h_0=15cm)$  وبفتحة ارتفاعها  $(h_0=3cm)$  ولجميع نماذج مواد القعر

 $(q_u/q_d)$  و  $(L_s/D_{50})$  و  $(q_u/q_d)$  و  $(P-h_0=15cm)$  و فتحة المركبة بارتفاع  $(P-h_0=15cm)$  و المديع نماذج مواد القعر التفاعها



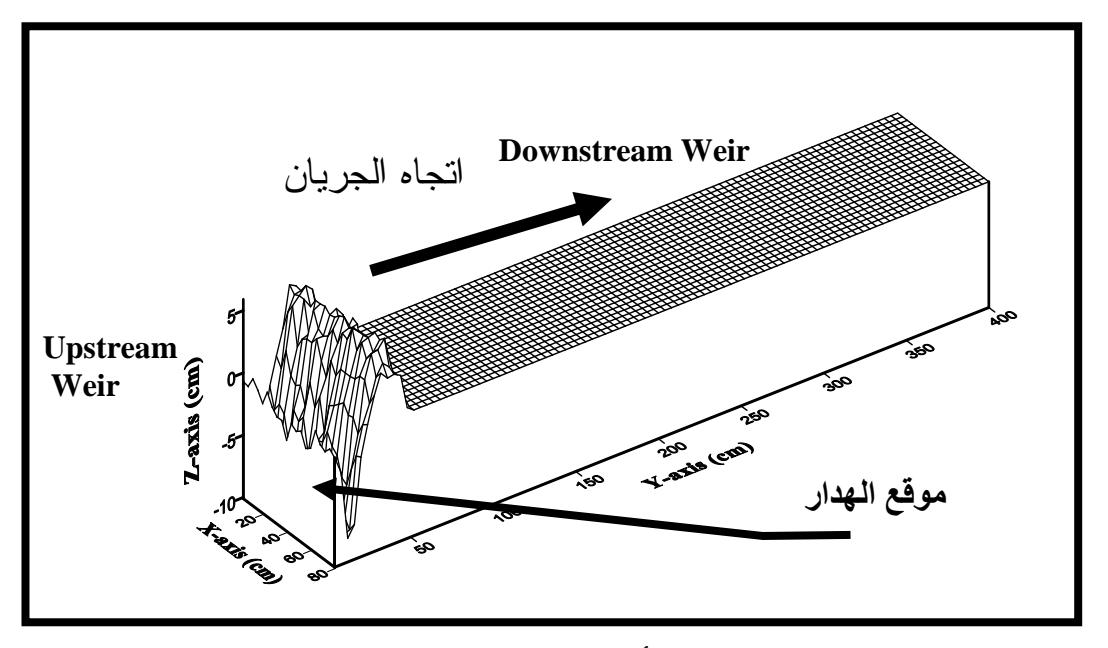
 $(q_u/q_d)$  و  $(L_s/D_{50})$  و  $(P-h_0=15cm)$  و  $(D_s/D_{50})$  و  $(D_s/D_{50})$  و  $(D_s/D_{50})$ 

شكل (21) : العلاقة بين  $(L_s/D_{50})$  و  $(q_u/q_d)$  للبوابة المركبة بارتفاع  $(q_u/q_d)$  و بفتحة ارتفاعها  $(h_0=3cm)$  ولجميع نماذج مواد القعر

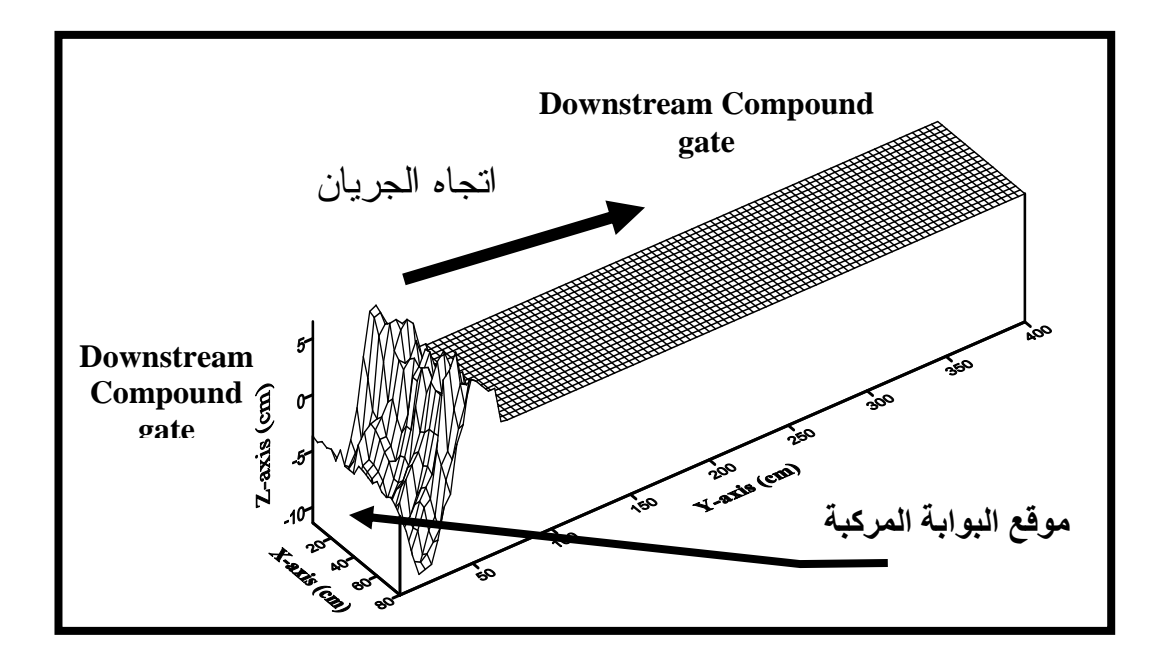
وبفتحة ارتفاعها ( $h_0=2cm$ ) ولجميع نماذج مواد القعر

### تغير شكل القعر ثلاثي الابعاد

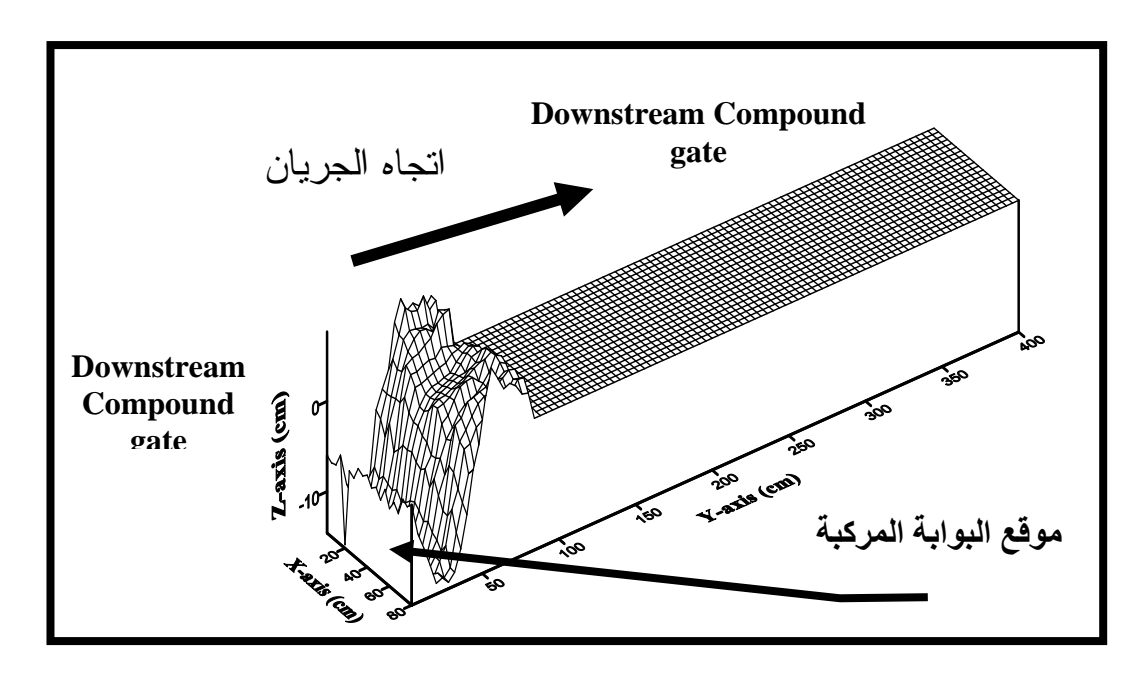
20 P 15



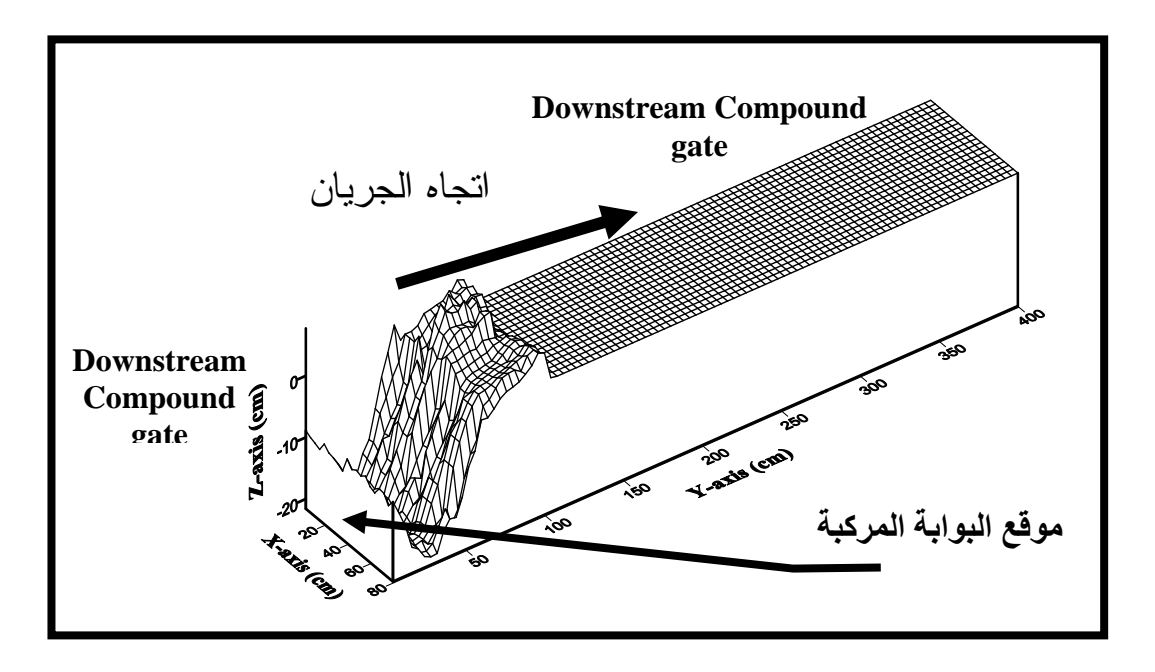
شكل (22): شكل ثلاثي الأبعاد لقعر القناة للهدار بارتفاع (P=30cm) و لعمق الماء فوق الحافة العليا (h'=4cm)



 $(P=31 \ cm)$  شكل (23) شكل ثلاثي الأبعاد لقعر القناة للبوابة المركبة بارتفاع (h'=4cm) و بفتحة ارتفاعها ( $h_0=1cm$ ) و لعمق الماء فوق الحافة العليا



(P=32cm) شكل (24) : شكل ثلاثي الأبعاد لقعر القناة للبوابة المركبة بارتفاع (h'=4cm) وبفتحة ارتفاعها  $(h_0=2cm)$  ولعمق الماء فوق الحافة العليا



شكل (25) : شكل ثلاثي الأبعاد لقعر القناة للبوابة المركبة بارتفاع (P=33cm) وبفتحة سكل (h'=4cm) و لعمق الماء فوق الحافة العليا ( $h_0=3cm$ )

#### الاستنتاجات

ضمن محددات النتائج المختبرية لهذا البحث يمكن استنباط الاستنتاجات التالية:

- 1. من التحليل ألبعدي للعوامل المؤثرة على عمق وطول حفرة النحر مؤخر الهدارات والبوابات المركبة ومن تحليل النتائج التي تم الحصول عليها من التجارب المختبرية تم التوصل إلى العلاقات الوضعية التالية:-
- أ- بالنسبة للهدارات تم التوصل الى علاقة لابعدية للعمق النسبي لحفرة النحر  $(D_s/D_{50})$  بمعامل تحديد  $(R^2)$  يساوي  $(R^2)$  يساوي ( $R^2)$  بمعامل تحديد  $(R^2)$  يساوي لحفرة النحر  $(L_s/D_{50})$  بمعامل تحديد  $(R^2)$  يساوي  $(Fr_0)$  وكلتا العلاقتين بدلالة رقم فرود بدلالة كثافة مواد القعر  $(Fr_0)$ .
- $m{\psi}$  بالنسبة للبوابات المركبة فقد تم التوصل الى علاقة لا بعدية للعمـق النسـبي لحفرة النحر ( $D_s/D_{50}$ ) بمعامل التحديد ( $R^2$ ) يسـاوي ( $D_s/D_{50}$ ) وعلاقـة لا بعدية اخرى لحساب الطول النسبي لحفرة النحر ( $D_s/D_{50}$ ) بمعامل تحديد ( $D_s/D_{50}$ ) بمعامل تحديد ( $D_s/D_{50}$ ) وكلتا بدلالة كثافة مـواد القعـر ( $D_s/D_{50}$ ) والسـقوط النسـبي يساوي ( $D_s/D_{50}$ ) و ارتفاع الفتحة النسبي ( $D_s/D_{50}$ ).

- ۷. بالنسبة للبوابات المركبة فقد تم التوصل الى علاقة لابعدية للعمق النسبي لحفرة النحر ( $(R^2)$ ) بمعامل تحديد ( $(R^2)$ ) يساوي ( $(R^2)$ ) بمعامل تحديد ( $(R^2)$ ) يساوي ( $(R^2)$ ) بمعامل تحديد ( $(R^2)$ ) يساوي ( $(R^2)$ ) بمعامل تحديد ( $(R^2)$ ) يساوي ( $(R^2)$ ) وكلتا العلاقتين بدلالة كل من رقم فرود بدلالة كثافة مواد القعر ( $(R^2)$ ) والسقوط النسبي ( $(R^2)$ ) والتصريف النسبي ( $(R^2)$ ).
- $m{r}$ . تم التوصل الى العديد من العلاقات الخطية الطردية لكل من عمق وطول حفرة النحر النسبيين ( $D_s/D_{50}$ ) و ( $D_s/D_{50}$ ) على التوالي مع رقم فرود ( $T_s/D_{50}$ ) بدلالة كثافة مواد القعر للهدارات والبوابات المركبة وكذلك مع التصريف النسبي ( $T_s/D_{50}$ ) للبوابات المركبة.
- 2. اتضح من التجارب التي أجريت أن عمق وطول حفرة النحر عندما يمر الجريان أعلى وأسفل البوابة المركبة اقل عنه فيما لو كان الجريان يمر أعلى الهدار فقط ولكن نسبة التقليل بالنسبة لكل من عمق وطول حفرة النحر تقل بزيادة ارتفاع الفتحة اسفل البوابة المركبة وذلك لان البوابة المركبة تعمل حينئذ كبوابة كسح أكثر مما لو كانت بوابة مركبة فيكون بذلك الجريان الأفقي أكثر قدرة على إزاحة مواد القعر وبالتالي زيادة النحر.
- •. بالنسبة لشكل حفرة النحر مؤخر البوابات المركبة اتضح أنه كلما ازداد ارتفاع الفتحة السفلية فأن قمة الحصى المتكدس خلف حفرة النحر تكون مسطحة أكثر وذلك بسبب زيادة التصريف السفلي.
- 7. يكون تأثير الجريان السفلي للبوابات المركبة ايجابيا في تقليل عمق النحر في البوابات ذات الارتفاع الواطئ (مساو وأقل من ٢٠ سم) في حين ينعكس ذلك التأثير في البوابات ذات الارتفاع العالى (أكثر من ٢٠ سم).
- استخدام الفتحات أسفل الهدارات كصمامات أمان لإمرار تصاريف أعلى مع عدم الخشية من الزيادة في عمق حفرة النحر في مؤخر تلك الهدارات وبالأخص في الهدارات الواطئة.
- من الممكن استخدام الحصى المكسر في فرش الأرضية في مؤخر الهدارات والبوابات المركبة بدلا عن الصبات الخرسانية الأمر الذي يقلل من الكلفة الاقتصادية لتبطين تلك الأرضيات.

### **References**

- Asai, K., Mimura, Y. and Kawamoto, N, (2002): Experimental Study on Scour and Sedimentation of River Bed by Overflow from Weir . J. Hyd. Res., IAHR, Vol. 15, No. 1, pp: 45-50.
- British Standard Institution, (1965): Method of Measurement of Liquid Flow in Open Channel . BS3680, part (A), London, England.
- Chen, Z., Shao, X. and Zhang, J., (2005): Experimental Study on the Upstream Water Level Rise and Downstream Scour Length of a Submerged Dam. J. Hyd. Res., IAHR, Vol. 43, No. 6, pp. 703-709.
- Chow, V. T, (1959): Open Channel Hydraulics . Mac Graw -Hill International Company , International Student Edition .
- Dargahi, B, (2003): Scour Development Downstream of Spillway . J. Hyd. Res., IAHR, Vol. 41, No. 4, pp.417-426 .
- Simons, D. and Şentürk, F, (1992): Sediment Transport Technology .Water Resources Publications, Littleton, Colorado, U.S.A.
- Uyumaz, A, (1988): Scour Downstream of Vertical Gate . J . Hyd. Eng., ASCE, Vol. 114, No. 7, pp.811-816.

#### المصادر

- القطان ، احمد عبد الحميد احمد (٢٠٠٧) : دراسة مختبرية للنحر مؤخر الهدارات والبوابات المركبة وبوابات الكسح . رسالة ماجستير ، قسم هندسة الموارد المائية ، كلية الهندسة ، جامعة الموصل .
- نوري و الحافظ ، (۲۰۰۷) : دراسة مختبرية للنحر في الأرضيات الحجرية مؤخر
   الهدارات المثلثية . مجلة هندسة الرافدين ، المجلد ١٥ ، ٤٧-٦٢ ص.

# Scour in Stone Beds Downstream Weirs and Compound Gates

Bahzad M. Ali\* Mwafaq Y. Mohammed\*\* Ahmad A. Ahmed \* Civil Eng. Dept./ College of Engineering -University of Duhok Water \*\*Resources Eng. Dept./ College of Engineering -University of Mosul

Received: 27/4/2009, Accepted: 25/1/2010

#### **Abstract**

In the present investigation, a laboratory study of scour characteristics downstream weirs, compound gates has been conducted. The study included the measurement of maximum scour depth and the length of scour hole downstream these structures. Also, the effects of structure height, under sluice opening height, discharge variation and the diameter of bed material on the depth and length of scour hole. Two hundred and thirty four experiments were conducted in a concrete laboratory channel. Three sizes of crushed aggregate in range of (1.43-2.21)cm and three of gate height 15, 20 and 30cm were tested. Three heights of gate openings 1, 2 and 3cm were also tested. Experimental Results of this study showed a good direct relationships between relative scour depth (D<sub>s</sub>/D<sub>50</sub>) and relative scour length (L<sub>s</sub>/D<sub>50</sub>) with densimetric Froude number (Fr<sub>o</sub>) for weirs and compound gates. It was also shown that  $(D_s/D_{50})$  and  $(L_s/D_{50})$  have good relationships with the relative discharge  $(q_u/q_d)$  for all cases and bed materials of compound gates. Two empirical relationships were obtained to estimated (D<sub>s</sub>/D<sub>50</sub>) and (L<sub>s</sub>/D<sub>50</sub>) in terms of (Fr<sub>o</sub>) and relative water surface fall (ΔH<sub>w</sub>/P) for weirs with high determination coefficients. Another two empirical relationships were obtained to estimated  $(D_s/D_{50})$  and  $(L_s/D_{50})$  in terms of  $(Fr_o)$ , relative water surface fall  $(\Delta H_t/P)$ , relative opening height  $(h_0/\Delta H_t)$  and relative discharge  $(q_0/q_d)$  for compound gates with high determination coefficients.